

低越流堰の流量係数について

九州大学工学部  
全

○上田年比古  
崎山 正常

1. まえがき 堰の越流係数に関する研究は完全越流については、かなり実験的に行われているが、不完全越流および潜堰状態についてはあまり行われていない。本報は先に著者らが発表した潜堰に関する実験報告<sup>1),2)</sup>を補足して、あらたに広頂堰を交えた20種の模型について行なった実験から、従来用いられている本間公式による越流係数を検討し、さらに実験資料を整理して、不完全越流および潜堰の流量算定式の導出を試みたものである。

2. 実験概要 実験は図-1のように、矩形量水堰から一定の流量を流し水路下流端の水位調節板を順次上げて堰の下流側の水位を上げ、定常状態になるのをまわって堰の上下流の水位を測定した。水位測定位置は堰天端より0.7m上流と2.83m下流の位置であった。模型堰は木型で作成し、図-2、表-1に示した寸法で図-2のAB線、CD線で3部にわけ各部を種々に組合せた。

3. 堰の越流係数 従来用いられている本間公式<sup>3)</sup>をあげると、

完全越流:  $Q = mbh_1\sqrt{2g h_1}$  ..... (1)

不完全越流:  $Q = (\alpha \frac{h_1}{d} + \beta) bh_1\sqrt{2g h_1}$  ..... (2)

潜 堰:  $Q = m' b h_2\sqrt{2g (h_1 - h_2)}$  ..... (3)

完全越流係数:  $m = \alpha \frac{h_1}{d} + \beta$  ..... (4)

潜堰越流係数:  $m' = 2.6 m$  ..... (5)

ここに、Q:流量、b:越流中、 $h_1$ および $h_2$ :堰天端より測った上流側および下流側水深、d:堰高、 $\alpha$ 、 $\beta$ 、 $\alpha'$ 、 $\beta'$ :係数である。

図-3の(a)および(b)は著者らが行ったA型およびR型模型についての各種の流量に対する実験結果例である。流量を一定にして下流水位を順次上げてゆくと図-3に示す一本の線と左から右に曲ってゆく。

完全越流係数mの式は図-4に示すようにほぼ(4)式で示されA型では

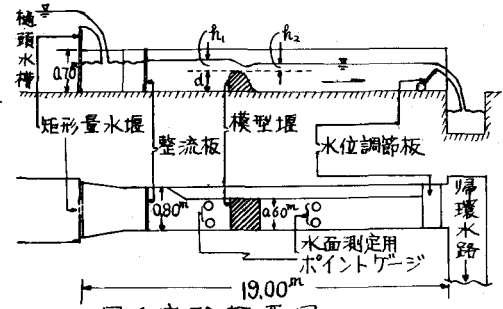


図-1 実験概要図

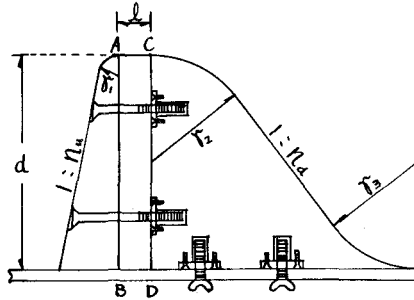


図-2 模型堰

表-1 模型堰の寸法

模型	$\eta_{Lu}$	$\gamma$ (cm)	$l$ (cm)
A	0	1	0
B	0	1	4.5
C	0	1	10.0
D	0	1	15.0
E	0	3	0
F	0	3	4.5
G	0	3	10.0
H	0	3	15.0
I	0	3.5	0
J	0	3.5	4.5
K	0	5.5	10.0
L	0	5.5	19.5
M	0.25	3	0
N	0.25	3	4.5
O	0.25	3	10.0
P	0.25	3	19.5
Q	0.50	3	0
R	0.50	3	4.5
S	0.50	3	10.0
T	0.50	3	19.5

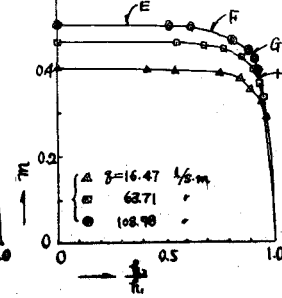
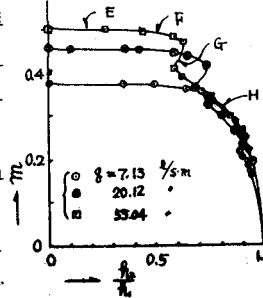


図-3 (a) ~ A 型

図-3 (b) ~ R 型

ただし  
 $d = 20$  cm  
 $E = 10$  "  
 $\eta_u = 0.8$  "  
 $\gamma = 10$  "

$$m = 0.416 \left( \frac{h_2}{d} \right) + 0.330 \quad \dots (6)$$

がえられた。表-1 に示す各種の堰でもほぼ同様な結果となり、係数  $\alpha$ ,  $\beta$  は表-2 に示す値がえられた。

次に不完全越流および潜堰状態では図-3 の軸では測定値の関数関係を考察するのに不便であるので(3)式からえられる  $m'$  について図示した。ニ水の A 型および R 型に対するものを図-5 の (a) および (b) に示している。これによると各流量に対する不完全越流および潜堰部の  $m'$  は明瞭に区別されてあらわれている。なお、ニこれらの図の水平直線は本間公式の(5)式による  $m'$  であつて各流量に対する完全越流の  $m$  に 2.6 倍した値である。これによると(5)式の  $m$  は厚土の薄い A 型堰では実測値による  $m$  よりかなり大きな値をとることがわかる。また厚土の厚い R 型堰では  $\frac{h_2}{H_1} = 0.7$  の近傍では実測による  $m'$  とほぼ一致するが  $\frac{h_2}{H_1} \geq 0.7$  では(5)式による  $m'$  は実測による  $m'$  より過小の値をよこすことがわかる。

表-2  $\alpha, \beta$  の値

堰型	$\alpha$	$\beta$
A	0.416	0.330
B	0.325	0.275
C	0.244	0.253
D	0.208	0.235
E	0.199	0.437
F	0.244	0.333
G	0.193	0.310
H	0.282	0.277
I	0.198	0.422
J	0.213	0.343
K	0.166	0.277
L	0.148	0.295
M	0.273	0.405
N	0.210	0.355
O	0.177	0.330
P	0.148	0.278
Q	0.253	0.415
R	0.228	0.350
S	0.175	0.325
T	0.182	0.270

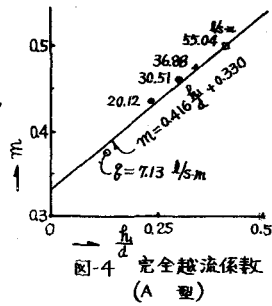


図-4 完全越流係数 (A 型)

4. 不完全越流および潜堰の流量算定

式 図-5 から本間公式の  $m'$  を用いれば潜堰の算定流量は R 型のような厚土の厚い堰の  $\frac{h_2}{H_1} = 0.7$  付近を除いてかなりの誤差をよこすものと考へられるので、著者は実験値を整理して、あらたに不完全越流から潜堰部にわたる流量算定式を導出した。まず、厚土の薄い堰では著者が先に報告したよりに  $m' y^{\frac{1}{2}} \sim X$  の関係は図-6 の (a) のよりにほぼ直線式で表わされる。この式は

$$m' y^{\frac{1}{2}} = 0.516 X + 0.444 \quad \dots (7)$$

となる。ニに  $X = \frac{h_1}{d}$ ,  $Y = \frac{h_2}{d}$  である。したがつてニの式よりえられる  $m'$  を(3)式に入れれば A 型における潜堰の流量算定式がえられる。

次に R 型のような厚土の比較的厚い堰から応頂堰に対して検討した結果、図-7 の (b) のよりに  $X = m' \sqrt{\frac{1 - (\frac{h_2}{H_1})^3}{1 + X}}$ ,  $Y = \frac{h_2}{H_1}$  の軸に対して、一つの堰についての各流量に対する測定値はほぼ一つの曲線上に集つた。この曲線式は不完全越流から  $Y \leq 0.97$  の潜堰部に至る範囲で

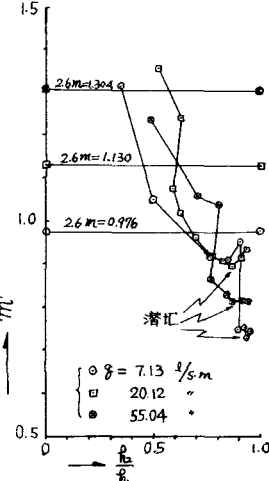


図-5 (a) ~ A 型

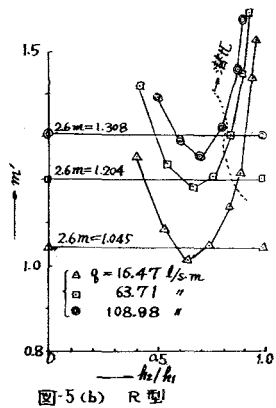


図-5 (b) R 型

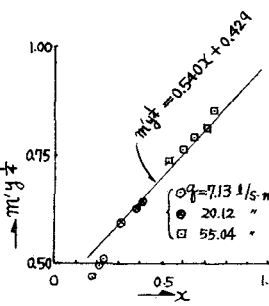


図-6 (a) ~ A 型

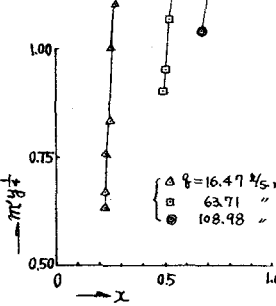


図-6 (b) ~ R 型

$$Y = 1 - AX^3 - BX \quad \dots\dots (8)$$

の式型が妥当であった。ここにA, Bは堰形状によって変る係数である。なお、X, Y軸について厚さの薄いA型堰を適用すると図-7(a)のように測定値がかなり分散し厚さの薄い堰への(8)式の適用は困難なよりである。したがって堰厚の比較的厚い堰について(8)式のA, Bを求めると表-3のようになる。さらに、

$$K_1 = \frac{B}{A} \left\{ \frac{1 - (\frac{h_2}{h_1})^3}{1 + X} \right\}^{-1}, \quad K_2 = -\frac{1}{A} \left\{ 1 - \frac{h_2}{h_1} \left[ \frac{1 - (\frac{h_2}{h_1})^3}{1 + X} \right]^{-\frac{3}{2}} \right\} \quad \text{とあければ(8)式は,}$$

$$m^3 + K_1 m' + K_2 = 0 \quad \dots\dots (9)$$

とほなる。検討の結果(9)式は常に唯一つの正の実根をもつ式であるから、 $h_1, h_2$ を測定し表-3のA, Bを用い、(9)式から $m'$ を求めれば、不完全越流より潜堰部にわたって $m'$ を知ることで(3)式から流量を求めることが出来る。

5. 流量算定式の比較 本流量算定式と本間公式および鍋岡公式とによる算定流量の比較を図-8の(a)および(b)に示している。本流量算定式によるも

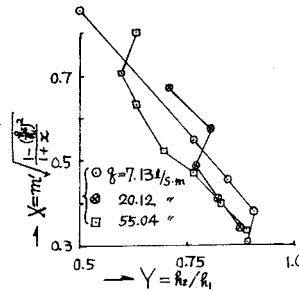


図-7 (a) ~ A型

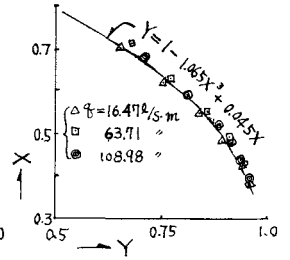
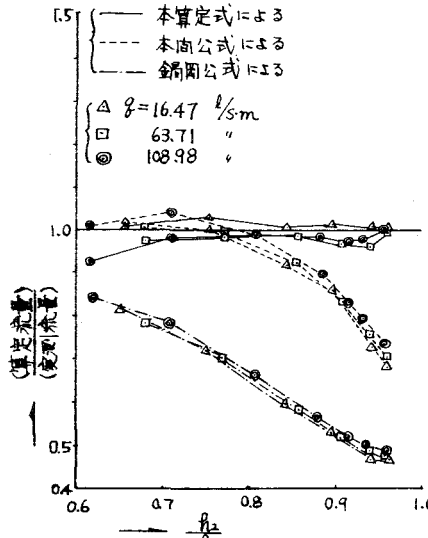
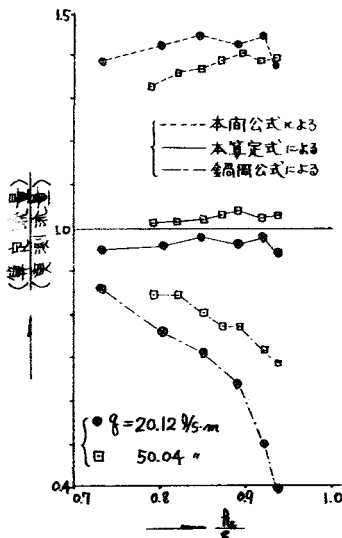


図-7 (b) ~ R型

表-3 A, Bの値

堰型	(A)	(B)
A	—	—
B	0.803	0.160
C	1.267	0.087
D	1.730	-0.012
E	0.377	-0.146
F	1.246	-0.083
G	1.658	-0.120
H	1.718	-0.106
I	0.560	0.065
J	1.208	-0.068
K	1.622	-0.118
L	2.157	-0.160
M	0.390	-0.138
N	1.016	-0.044
O	1.577	-0.140
P	1.935	-0.094
Q	0.482	0.093
R	1.065	-0.045
S	1.695	-0.158
T	1.910	-0.112



のを実線 (a)図は(7)式, (b)図は(9)式による。本間公式によるものを実線で示している。本流量算定式によるものがほぼ1.0の線の付近に実在して、計算値と実測値がほぼ一致していること、本間公式によるものがA型では過

図-8 (a)流量算定比較図(A型) 図-8 (b) 流量算定比較図(R型)

$0.6 < \frac{h_2}{h_1} < 0.8$  付近を除いて、過小の値を占めることがわかる。思うに潜堰の越流係数に対する式(5)は完全越流の式(1)と潜堰の式(3)とが  $\frac{h_2}{h_1} = \frac{2}{3}$  で一致する条件から求められたものであり、潜堰部でこの係数が妥当であるかどうかについての検討は充分には行なわれていないと考える。ただ図-3の軸について実験値をplotした検討はあるが潜堰部では実験値は垂直に近く並ぶので、このような軸についての検討は不明確なものとなると考える。また本間公式による流量算定は、まず流量Qを仮定して(1),(4)式よりmを求め(5)式よりm'を求め、(3)

式から  $Q$  を求め、 $\eta$  が始めの仮定値と一致するまで行ういわゆる試算法であり、この英(7)および(9)式から  $m$  を求め(3)式により流量を求める方が、(9)式の場合  $m$  の3次式を解く面倒はあまが計算は簡単なようである。

次に鍋岡公式<sup>4)</sup>による流量算定を行うにあたり、A型に対しては、 $\eta$  に合致する型がなかったので  $\eta$  に最も近い型として  $\frac{d}{b} = 15$ ,  $n_d, n_u = 0 \sim 1.0$  を選び、 $\eta$  に対する補正式、 $\Delta(\frac{m}{m_0}) = 5.72 \cdot \frac{d}{b} (1 - \frac{d}{b}) \exp\{-4.62(1 - \frac{d}{b})\}$  を用い、R型に対しては  $\frac{d}{b} = 5$ ,  $n_d, n_u = 0 \sim 1.0$  に対する式  $\Delta(\frac{m}{m_0}) = 5.30 \frac{d}{b} (1 - \frac{d}{b}) \exp\{-5.11(1 - \frac{d}{b})\}$  を用いた。ここに  $b$  は堤頂中である。 $\eta$  による算定結果を図8の鎖線に示している。これによるとA型、R型とも過小の値を方えていることわかる。

6. むすび 以上によって低越流堤の流量算定式を実験的に導き、その検討を行なったが、これまで知りえた結果をのべると

- 1) 完全越流について：完全越流係数  $m$  はほぼ(4)式で表わされる。
- 2) 不完全越流および潜堤部について
  - i) 本間公式は、潜堤部に対して堰厚の薄い堰では一般に過大の値を示す。堰厚の厚い堰では  $\frac{d}{b} = 0.7$  付近を除いて過小の値を示す。
  - ii) 堰厚の薄い堰の潜堤部の流量係数  $m'$  は、ほぼ(7)式のように  $m' y^{\frac{1}{2}} = Mx + N$  ( $= m$ 、 $N$  は堰によって決まる定数) で表わされる。
  - iii) 堰厚の厚い堰の不完全越流から潜堤部については、(3)式の  $m$  はほぼ(9)式で表わされる。(8)式の  $A$  の値は、堰厚が厚くなると大きくなる。 $B$  の値の堰厚による関係は明らかでない。
- ii) 鍋岡公式に対しては充分な検討を行うことはできなかったが、A型、R型堤についてほかの誤差を生ずるようである。

## 参考文献

- 1) 上田年比古, 崎山正幸: 潜堤の流量について; 土木学会 第19回年次学術講演会 講演要旨 II-13
- 2) 上田年比古, 崎山正幸: 潜堤の流量算定式について; 九州大学工学集報 第37巻 第3号
- 3) 本間仁: 低越流堤の流量係数(第2編); 土木学会誌 Vol 26 No.9 86 15.9
- 4) 鍋岡昭三: 低いガムの溢流に関する研究; 電研報告(土木-3301) 86 28.10